

Svevning

[YF 16.7; LL 10.7]

$$S_1 \cdot) \quad) \quad) \quad \lambda_1 \quad \xi_1(x,t) = \xi_0 \cos(k_1 x - \omega_1 t)$$

$$S_2 \cdot) \quad) \quad) \quad \rightarrow u \quad \lambda_2 \neq \lambda_1 \quad \xi_2(x,t) = \xi_0 \cos(k_2 x - \omega_2 t)$$

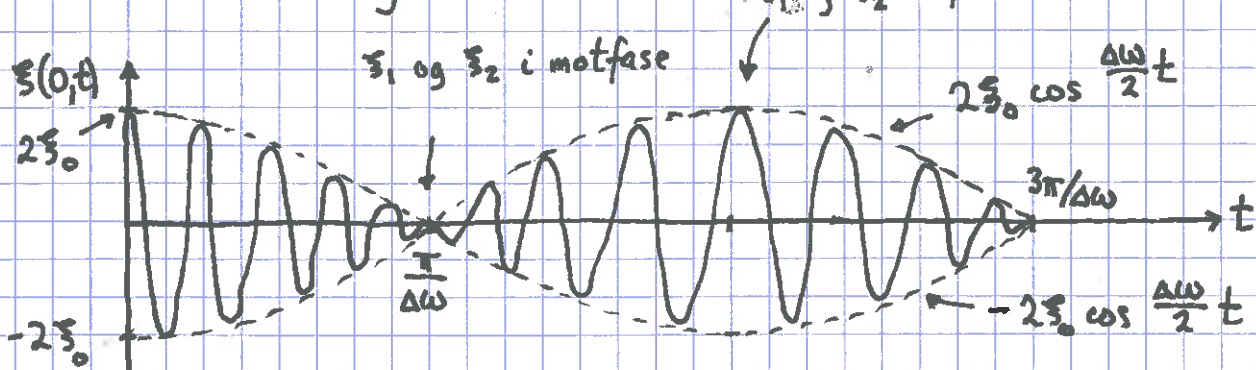
$$\begin{array}{l} \circ \\ \bullet \\ \uparrow \quad \xi(x,t) = ? \\ \uparrow \quad x = x_0 = 0 \end{array}$$

Lydbølge målt (hører; observerer) av O:

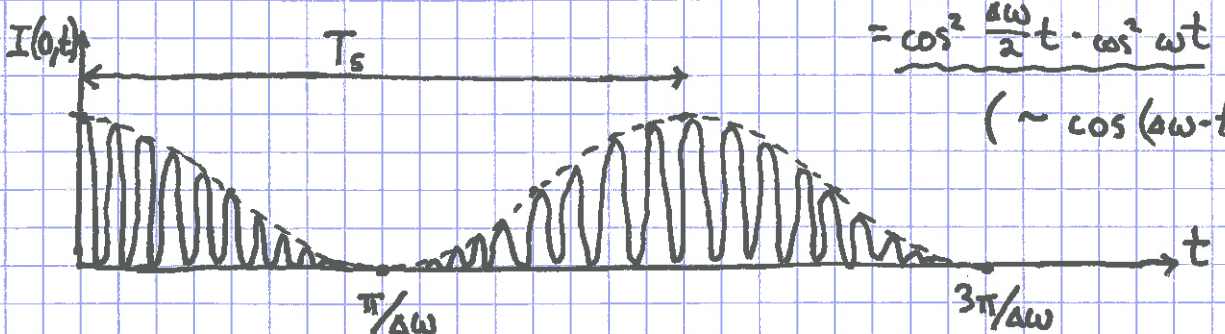
$$\xi(x,t) = \xi_1(x,t) + \xi_2(x,t) \quad \left[\cos a + \cos b = 2 \cos \frac{a+b}{2} \cos \frac{a-b}{2} \right]$$

$$= 2\xi_0 \cos\left(\frac{\Delta k}{2}x - \frac{\Delta \omega}{2}t\right) \cdot \cos(kx - \omega t)$$

$$\text{der } \Delta k = k_1 - k_2, \Delta \omega = \omega_1 - \omega_2, k = \frac{1}{2}(k_1 + k_2), \omega = \frac{1}{2}(\omega_1 + \omega_2)$$

Anta $\Delta k \ll k$ og $\Delta \omega \ll \omega$:

$$\text{Intensiteten: } I(0,t) \sim |\xi(0,t)|^2 \sim \left\{ \cos^2\left(\frac{\Delta k}{2}x - \frac{\Delta \omega}{2}t\right) \cdot \cos^2(kx - \omega t) \right\}_{x=0}$$



$$= \cos^2 \frac{\Delta \omega}{2} t \cdot \cos^2 \omega t \quad (\sim \cos(\omega t) + 1)$$

\Rightarrow Hører tonen (frekvensen) $f = \omega / 2\pi = (f_1 + f_2) / 2$, med
 "modulert" intensitet, svevning, med sverefrekvens
 $f_s = 1/T_s = \Delta \omega / 2\pi$. Anvendelse: Instrumentstemming.

Interferens

[YF 15.6, 16.6; LL 10.7]

(87)

"flere bølger på samme sted til samme tid"

$$S_1 \cdot \left(\begin{array}{c} | \\ | \\ \lambda \end{array} \right) \rightarrow v \quad y_1(x,t) = y_0 \cos(kx - wt + \varphi_1)$$

$$S_2 \cdot \left(\begin{array}{c} | \\ | \\ \lambda \end{array} \right) \rightarrow v \quad y_2(x,t) = y_0 \cos(kx - wt + \varphi_2)$$

$\leftrightarrow \Delta\varphi$

O
●
 $y = ?$

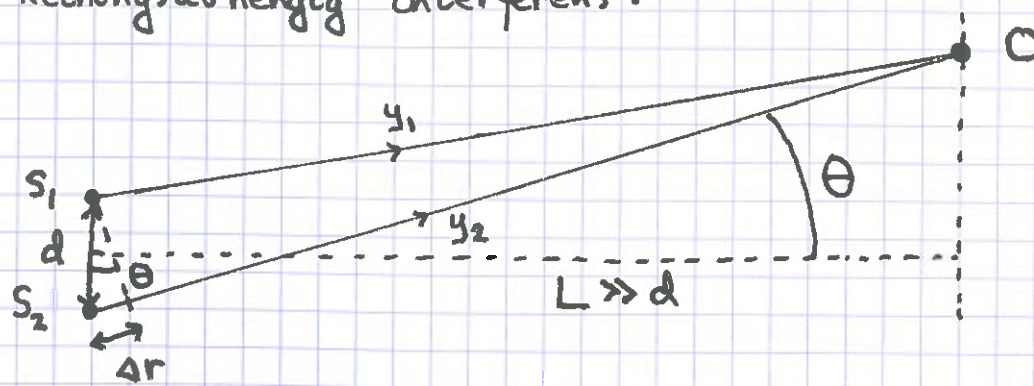
Bølge observert ved O: [Øving 8, oppg 2]

$$y(x,t) = 2y_0 \cos\left(\frac{\varphi_1 - \varphi_2}{2}\right) \cos\left(kx - wt + \frac{\varphi_1 + \varphi_2}{2}\right)$$

\Rightarrow Konstruktiv interferens, max amplitud $2y_0$, når $\varphi_1 - \varphi_2 = 0$, dvs når y_1 og y_2 er i fase

Destruktiv interferens, min amplitud 0, når $\varphi_1 - \varphi_2 = \pi$, dvs når y_1 og y_2 er i motfase

Retningsavhengig interferens:



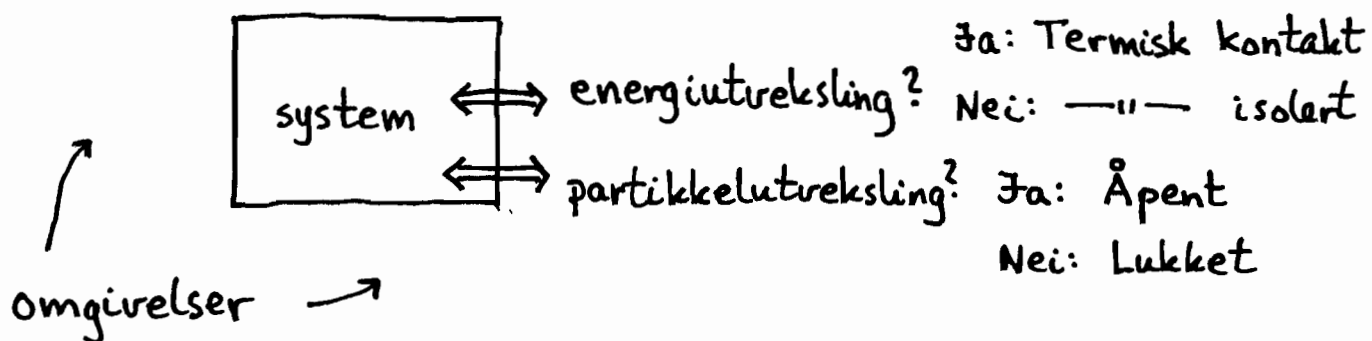
Anta $L \gg d$, og S_1 og S_2 to bølgekilder i fase.

Veilengdeforskjell: $\Delta r \approx d \cdot \sin \theta$

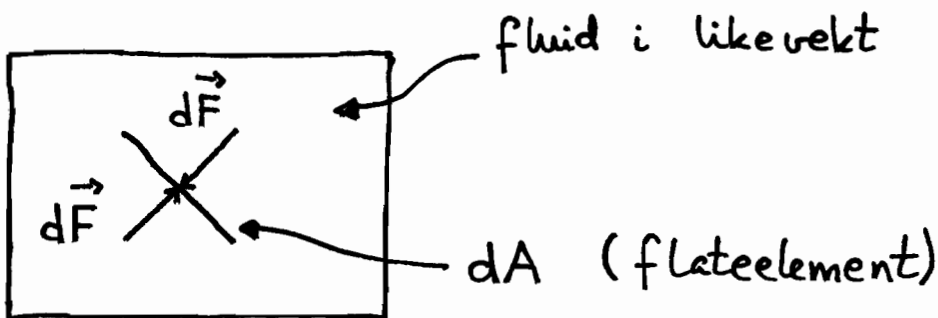
\Rightarrow max I ved O når $d \sin \theta = n \cdot \lambda$

min I ved O når $d \sin \theta = (n + 1/2) \cdot \lambda$

$n = 0, 1, 2, \dots$

InnledningSystem og omgivelser

Eks: Kaffekopp : Termisk kontakt. Åpen
 Termos m/lokke: —||— isolert. Lukket

Trykk [YF 11.4, 12.2-12.3; LL 7.2, 8.1-8.4]

$p = dF/dA$ = trykket i fluidet, en skalar og isotrop størrelse (uavhengig av flatens orientering)

$$d\vec{F} = -p \vec{dA} = -p dA \hat{n}$$

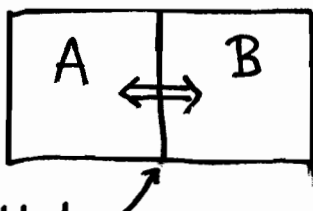
$$SI: [p] = N/m^2 = Pa$$

$$1 \text{ atm} = 1.01325 \cdot 10^5 \text{ Pa} = 1.01325 \text{ bar}$$

$$1 \text{ bar} = 10^5 \text{ Pa}$$

$$1 \text{ psi} = (0.454 \text{ kg} \cdot 9.81 \text{ m/s}^2) / (25.4 \cdot 10^{-3} \text{ m})^2 \approx 6.9 \text{ kPa}$$

Temperatur og termisk likevekt [YF 17.1; LHL 13.1]



Lukket,
men termisk kontakt

Hvis netto energistrøm mellom A og B er lik null:

- A og B er i termisk likevekt
- A og B har lik temperatur: $T_A = T_B$

T måles med termometer.

Endring i T \Rightarrow Endring i

- væskevolum
- gasstrykk
- lengde av fast stoff
- elektrisk motstand osv.

Kalibrering (Celsius m. flere):

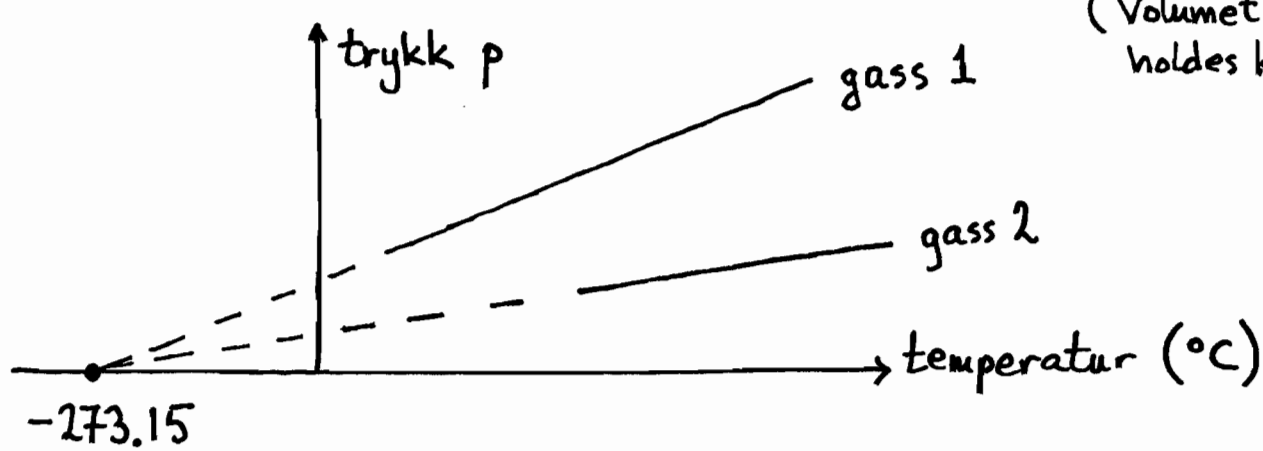
0 °C når H₂O fryser ved p = 1 atm

100 °C ——||—— koker ——||——

Absolutt temperatur:

Måling av trykk og temperatur for ulike fortynnede gasser:

(Volumet V
holdes konstant.)



Dvs: Trykket er prop. med temp. for alle gassene.

Ekstrapolering til $p=0$ gir -273.15°C for alle.

⇒ Vi innfører absolutt temperatur T , slik at

$T = 0\text{ K}$ (kelvin) tilsvarer -273.15°C ;

"det absolute nullpunkt". Dessuten slik at
endring på 1°C = endring på 1K .

⇒ H_2O fryser ved $T=273.15\text{ K}$, koker ved $T=373.15\text{ K}$.

Standard referanse (siden 1954) :

Trippelpunktet for H_2O , dvs der is, vann og
vanndamp er i termisk likerekt, har

(damp-)trykk $p_t = 612\text{ Pa} = 0.063\text{ atm}$

temp. $T_t = 273.16\text{ K}$ (0.01°C)

Tilstandsligning for ideell gass [YF 18.1; LHL 13.3]

Eksperimenter med gasser med lav tetthet gir:

$$pV = nRT$$

Ideell gass tilstandsligning

[Utledes senere med mikroskopisk teori: Kinetisk gassteori]

Knytter tilstandsvariablene trykk p , volum V og temperatur T sammen med ligningen $f(p, V, T) = 0$.

[Ideell gass: $f(p, V, T) = pV - nRT = 0$]

n = antall mol ; 1 mol = $6.022 \cdot 10^{23}$ partikler/molekyler

$R = 8.314 \text{ J/mol}\cdot\text{K}$ = gasskonstanten ("åttekoma pi"!)

Alternativt:

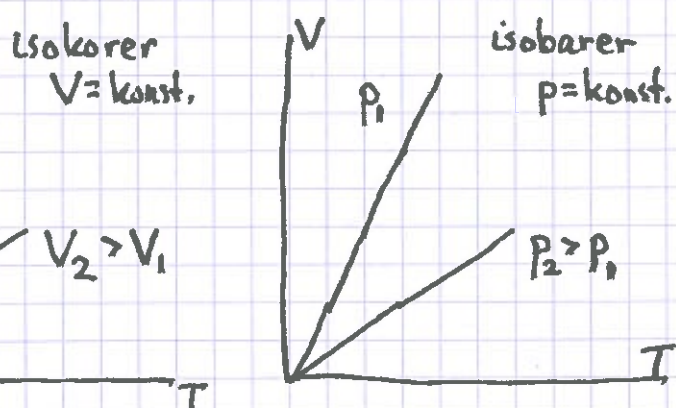
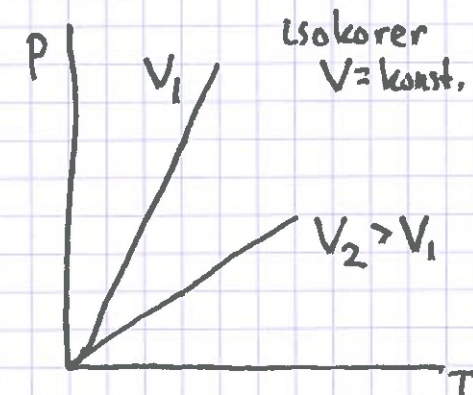
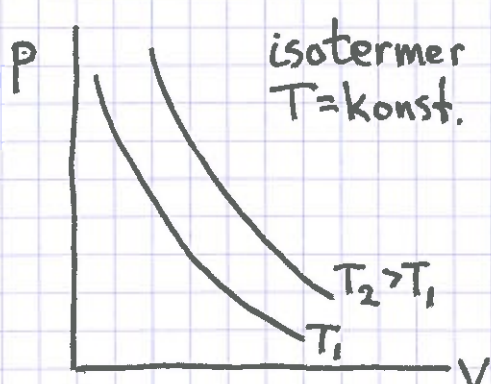
$N = n \cdot N_A$ = antall molekyler ; $N_A = 6.022 \cdot 10^{23}$ = Avogadros tall

$k_B = R/N_A = 1.38 \cdot 10^{-23} \text{ J/K}$ = Boltzmanns konstant

$$\Rightarrow n \cdot R = \frac{N}{N_A} \cdot k_B N_A = N k_B$$

$$\Rightarrow pV = N k_B T \quad \Rightarrow p(V, T) = \frac{N k_B T}{V}; \quad V(p, T) = \frac{N k_B T}{p}; \quad T(p, V) = \frac{pV}{N k_B}$$

Grafisk, med $n = \text{konstant}$:



Termodynamiske koeffisienter [YF 17.4; LHL 13.2]

92

Volumutvidelseskoeffisient:

$$\beta = \lim_{\Delta T \rightarrow 0} \left\{ \frac{\Delta V/V}{\Delta T} \right\}_{p=\text{konst}} = \frac{1}{V} \left(\frac{\partial V}{\partial T} \right)_p$$

Eks 1: $\beta(\text{glass}) = 2.7 \cdot 10^{-5} \text{ K}^{-1} \ll \beta(\text{etanol}) \approx 10^{-3} \text{ K}^{-1}$

\Rightarrow spritsøylen i termometeret stiger når T øker

Eks 2: $\beta(H_2O) < 0$ mellom 0°C og 4°C

\Rightarrow massetettheten større ved 4°C enn ved 0°C

\Rightarrow innsjøer fryser ikke til bunns \Rightarrow fisken overlever

[Krystallstrukturen i is er "open" \Rightarrow Lav tetthet

\Rightarrow Is lettere enn vann. Bindingsstrukturen delvis

intakt opp til 4°C \Rightarrow Vann tyngst ved 4°C]

Lineær utvidelseskoeffisient: [Kun faste stoffer]

$$\alpha = \frac{1}{L} \left(\frac{\partial L}{\partial T} \right)_p \quad [\alpha = \frac{1}{3} \beta, \text{ da } V = L^3, \text{ dus } L = V^{1/3}]$$

Trykk-koeffisient:

$$\gamma = \frac{1}{p} \left(\frac{\partial p}{\partial T} \right)_V$$

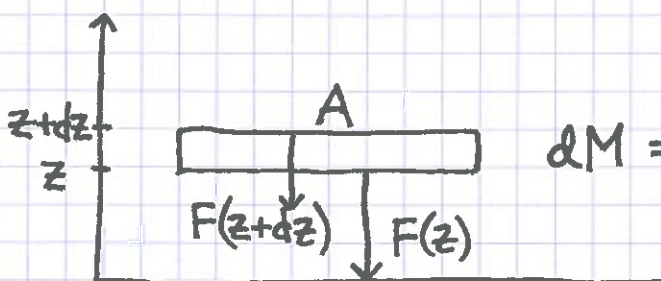
Kompressibilitet:

$$\kappa = - \frac{1}{V} \left(\frac{\partial V}{\partial p} \right)_T = B^{-1} \quad [B = \text{bulkmodul}; s. 72]$$

Eks: $\kappa(H_2O) = (2.2 \cdot 10^9 \text{ Pa})^{-1} = 4.5 \cdot 10^{-10} \text{ Pa}^{-1} = 4.6 \cdot 10^{-5} \text{ atm}^{-1}$

Eks: Anta g og T konstante, og midlere molekylvekt $\langle m \rangle$. Hvordan avtar trykket p oppover i atmosfæren? Anta ideell gass.

Løsn:



$$\mathrm{d}M = \mu \mathrm{d}V = \mu A \mathrm{d}z$$

(μ = masse pr volumenhet)

$$\mathrm{d}F = F(z+dz) - F(z) = \cancel{\text{massen}} - \mathrm{d}M \cdot g = -\mu g A \mathrm{d}z$$

[Tyngden av $\mathrm{d}M$ tilsvarer skeningen i F fra $z+dz$ til z]

$$\mathrm{dp} = p(z+dz) - p(z) = \mathrm{d}F/A = -\mu g \mathrm{d}z$$

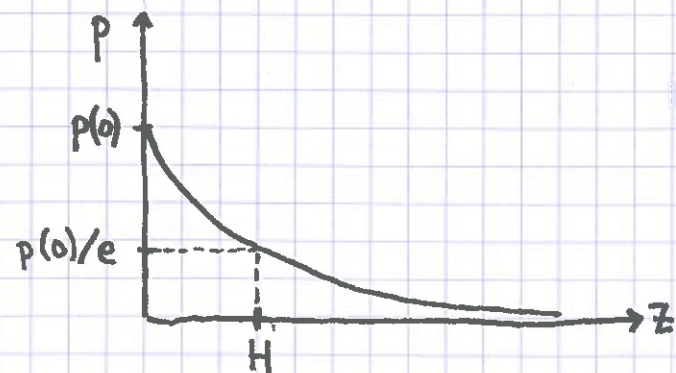
$$\mu = \langle m \rangle \cdot N/V ; \quad pV = Nk_B T \Rightarrow N/V = p/k_B T$$

$$\Rightarrow \mathrm{dp} = -\langle m \rangle \cdot \frac{p}{k_B T} \cdot g \cdot \mathrm{d}z$$

$$\Rightarrow \underbrace{\frac{p(z)}{p(0)}}_{\frac{\mathrm{dp}}{p}} = \int_0^z \left(-\frac{\langle m \rangle g}{k_B T} \right) \mathrm{d}z$$

$$\Rightarrow \ln \frac{p(z)}{p(0)} = -z/H ; \quad H = \frac{k_B T}{\langle m \rangle g}$$

$$\Rightarrow \underline{\underline{p(z) = p(0) \exp(-z/H)}}$$



$$\langle m \rangle \approx 29 \text{ g/mol} \approx 4.8 \cdot 10^{-26} \text{ kg}$$

(pr molekyl)

$$T \approx 260 \text{ K}$$

$$\Rightarrow H \approx 7.6 \text{ km}$$

Varme. Varmekapasitet [YF 17.5 ; LHL 13.2]

(94)

Varme = Energi som overføres (transporteres)
pga temperaturforskjeller

Andre former for energioverføring er arbeid.

Varmekapasitet = $\frac{\text{Tilført varme}}{\text{Temperaturendring}}$

$$C = \frac{\Delta Q}{\Delta T}$$

$\Rightarrow \Delta Q = C \cdot \Delta T$, dvs mye varme ΔQ må tilføres et system med stor varmekapasitet C for å oppnå en viss temperaturskening ΔT

Måler C ved å måle sammenhørende ΔQ og ΔT , typisk med p eller V holdt konstant:

$$C_p = \left(\frac{\Delta Q}{\Delta T} \right)_p ; \quad C_V = \left(\frac{\Delta Q}{\Delta T} \right)_V$$

Enhet: $[C] = \text{J/K}$

For tabulering, hensiktsmessig med spesifikk varmekap.:

$$c = C/M = \text{varmekap. pr masseenhet} \quad [c] = \text{J/kg}\cdot\text{K}$$

$$c_m = C/n = \text{molar varmekap.}$$

$$[c_m] = \text{J/mol}\cdot\text{K}$$

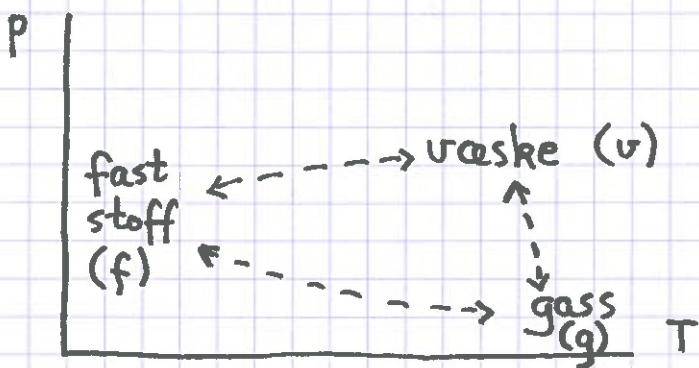
Faseoverganger. Latent varme. [YF 17.6; LHL 13.2]

18.6

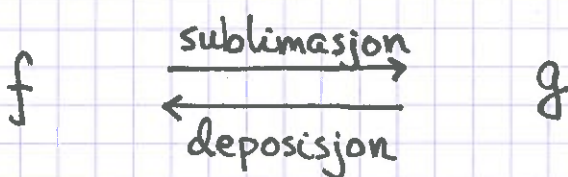
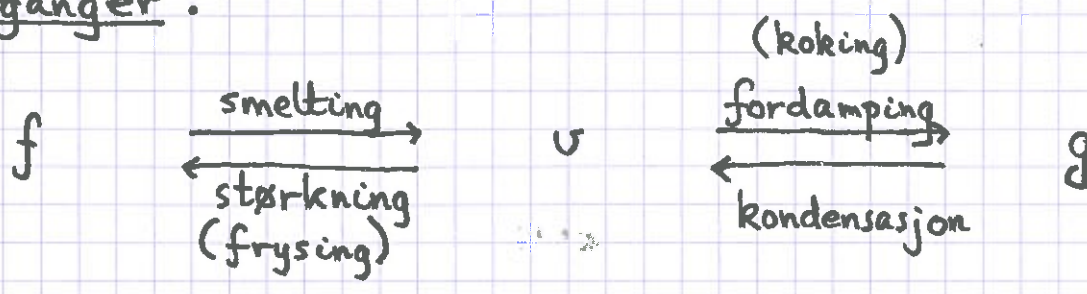
17.10

95

Kvalitativt, for ulike trykk og temperaturer:

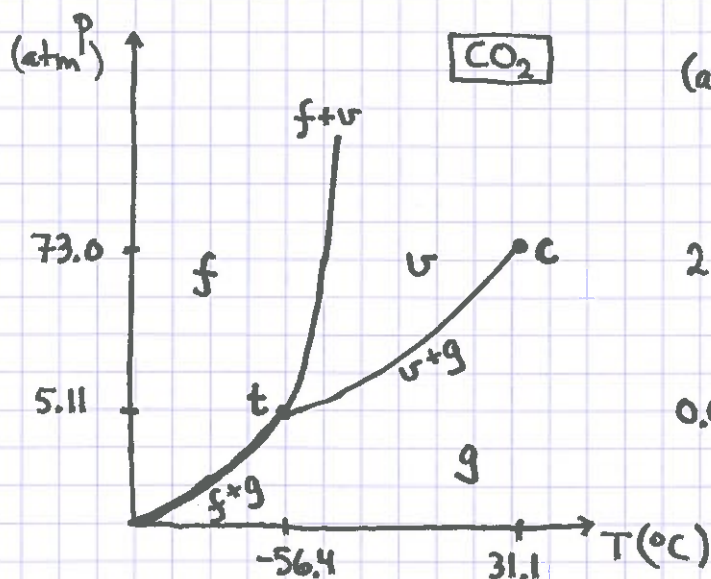


Koeksistenslinjer i (P, T) -diagrammet markerer faseoverganger:

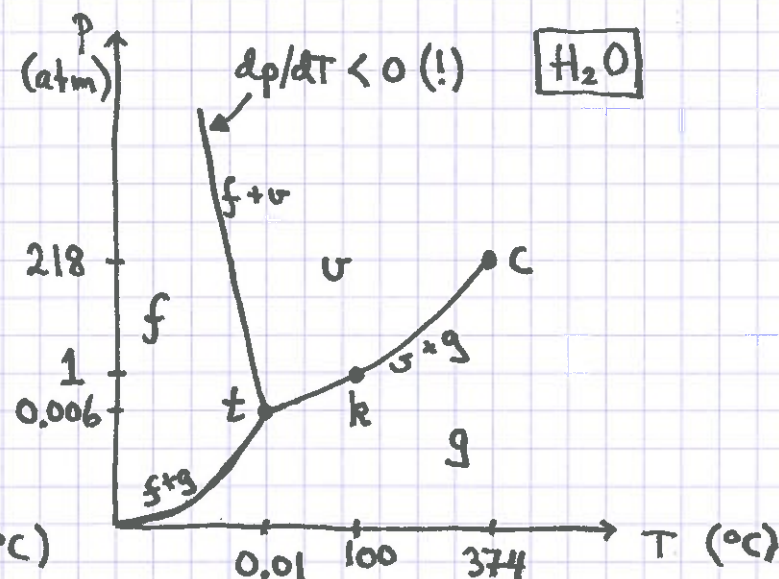


[Eks: CO_2 ved 1 atm, -78.5°C ; "tørris"]

[Eks: Is \rightarrow Vanndamp i kuldegredet; "frysetørring"]



CO_2



H_2O

Koeksistenslinjer ($f+u$, $u+g$, $f+g$):

Likerekt mellom to faser.

Kokepunkt (k): Omgivende lufttrykk = Damptrykket \Rightarrow Koking

Trippelpunkt (t): Likevekt mellom alle tre faser

Kritisk punkt (c): Enden på $u+g$ koeksistenslinjen.

Hvis $p > p_c$ og $T > T_c$, er det ingen forskjell på væske og gass. Vi har en fase, et superkritisk fluid.

Latent varme:

L = varmen som trengs for å smelte/fordampe/sublimere en viss mengde stoff, ved gitt temperatur ($\Delta T = 0$)

Eks: H_2O . I nærheten av trippelpunktet er

$$L_{sm} \approx 80 \text{ cal/g}, L_f \approx 600 \text{ cal/g}, L_{sub} = L_{sm} + L_f \approx 680 \text{ cal/g}$$

($L_f \approx 540 \text{ cal/g}$ ved 1 atm)

1 cal (kalori) = varmen som øker T fra $14.5^\circ C$ til $15.5^\circ C$
i 1 g H_2O ved $p = 1 \text{ atm}$ ($= 4.184 \text{ J}$)

Med konstant tilførsel av effekt:

